

Aspecto panorámico de las calizas
biogénicas del Mioceno de A. Ter-
cero. Estación. AH. 1





Zahorra que ha sido explotada, con gravas, arenas y limos de formación recientes, depositados cerca del cauce del Segura. Estación. AH. 10.



Aspecto ruiniforme de las dolomias cenomanense del borde occidental de la Hoja.
Estación. AH. 11

Otros aspectos de los cañones excavados
a través de las dolomias del Cenomanense
de Las Pilillas. Estación. AH.13.





Detalle de las gravas calcáreas de los
aluviones del río Segura. Estación.
AH. 14



Aluviones de gravas calcáreas depositadas
en el cauce del Segura. Estación. AH. 15



Panorámica del ámbito cenomanense-albense
de Melandante y El Vadico. Estación. AH. 17



Dolomias y calizas del cretácico superior de
la Rambla del Camino (SW de la Hoja). Es-
tación. AH. 18



Detalle del tramo margo-limoso y arenoso
del Albense del SW de la Hoja. Estación.
AH. 19



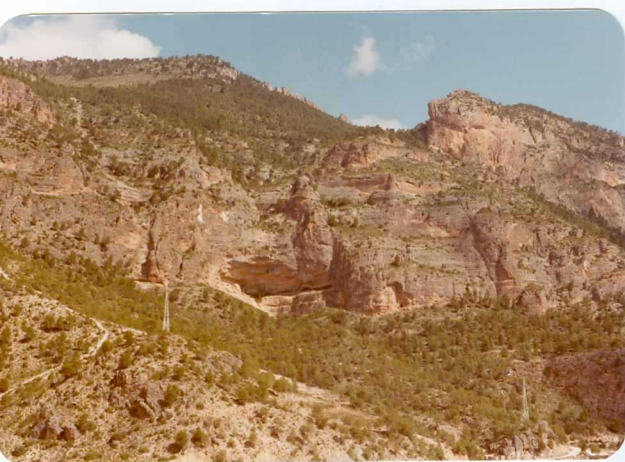
Panorámica del oligoceno inferior margo-calcáreo de El Peñón.
Valle del Taibilla. Estación. AH. 2

Niveles detriticos de la base del
Miocene de El Estanque. Esta-
ción. AH. 3





Crestas ruiniformes de las dolomias del
Cenomanense de Las Pilillas. Estación.
AH. 32



Panorámica de las calizas y dolomias del Aptiense de Las Pilillas. Estación. AH. 35



Panorámica del embalse del Taibilla
Canteras en las calizas del Paleoceno.
Estanque. Estación AH. 4



Panorámica de la formación cretácica de
Sege-Sujayal. Estación. AH. 42



Cretácico de Sege. Estación. AH. 48



Nivel detrítico en el tramo basal del
Aquitaniense de Los Hipólitos. Esta-
ción. AH. 5



Explotación de calizas bio térmicas del
Mioceno de Rincón del Sastre. Estación.
AH. 57



Panorámica del Plioceno de Los Belmontes
En primer plano aluviones del río Taibilla.
Estación. AH. 6



Otro aspecto panorámico del valle de El Peñón desde el extremo SW de la Cuerda de la Gitana. Estación. AH. 60

Formación pliocénica de gravas y arenas arcillosas, del borde norte de la Hoja. Estación AH. 8





Detalle de las dolomias brechiferas del Cenomanense del Cerro del Tobar. Estación. AH. 9



Escombreras de la antigua mina de
Fe de Yetas. Estación HR. 255



Panorámica de la antigua explotación
minera en el Alto de Yetas. Estación.
HR. 255



Otro aspecto de los restos de escombreras
dejados en la antigua mina de Fe de Yetas.
Estación. HR. 255



Restos de la antigua explotación de mineral
de hierro en el Alto de Yetas. Estación. HR.
255